

Letzte Aktualisierung der Informationen: März 2025

Produktkonfiguration: PH00.G0

PH00.G0: Modul für Superrail-Schiene 48V - DALI - Neutral White - UGR<19 - L=1824 - Reiheninstallation - 13.8W 1878.5lm - 4000K - CRI 90 - Weiß/Weiß Durchsichtig



Produktcode

PH00.G0: Modul für Superrail-Schiene 48V - DALI - Neutral White - UGR<19 - L=1824 - Reiheninstallation - 13.8W 1878.5lm - 4000K - CRI 90 - Weiß/Weiß Durchsichtig

Beschreibung

Produkt zur linearen Beleuchtung mit einfarbiger LED Neutral White CRI90 mit Adapter zur Installation an Superrail-Schiene 48V. Leuchtengehäuse UGR<19 für kontrollierte Leuchtdichte ($L \leq 3000 \text{ cd/m}^2$), ideal für Umgebungen, in denen Bildschirme verwendet werden. Space-Optik Opti-Diamond erhältlich sowohl mit Weißem Cover (Weiß-durchscheinend) oder Schwarz (Schwarz-durchscheinend). Der Adapter aus Thermoplast umfasst den DC/DC Treiber-Schaltkreis mit Dimmfunktion DALI. Mithilfe der integrierten Technologie „Power Line“ können die an der Schiene installierten Leuchtmodule einzeln reguliert werden. Hauptkorpus aus extrudiertem Aluminium in Frameless-Ausführung. Schnellanschluss-System für den werkzeuglosen elektrischen und mechanischen Anschluss des Adapters an der Schiene. Modul für Reiheninstallation, enthält keine Deckel (diese sind separat zu bestellen).

Installation

Mechanische Befestigung mit Adapter an der Superrail-Schiene 48V. Die Reihe ist mit zwei Deckeln abzuschließen, die separat zu bestellen sind.

Farben

Weiß/Weiß Durchsichtig (G0)

Gewicht (Kg)

1.03

Montage

Low voltage track

Verkabelung

LED-Treiber DC/DC im Adapter integriert - direkter Anschluss an 48V-Stromschiene. Die Versorgungseinheit der Schiene ist separat zu bestellen.

Gemäß der Normen EN60598-1 u. Sondernormen



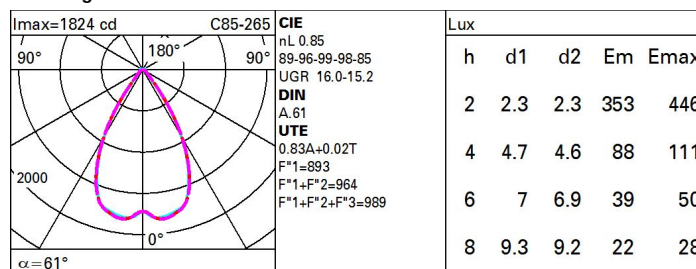
IP20



Technische Daten

| | | | |
|---|-------|-------------------------|--|
| Im System: | 1879 | Lebensdauer LED 1: | > 50,000h - L90 - B10 (Ta 25°C) |
| W System: | 13.8 | Eingangsspannung [V]: | 48 |
| Im Lichtquelle: | 2210 | Lampencode: | LED |
| W Lichtquelle: | 12 | Anzahl Lampen in | 1 |
| Lichtausbeute (lm/W, Systemwert): | 136.1 | Leuchtengehäuse: | |
| Im im Notlichtbetrieb: | - | ZVEI-Code: | LED |
| abgegebener Lichtstrom bei/ über einem Winkel von 90° [lm]: | 36 | Anzahl Leuchtengehäuse: | 1 |
| Leuchtenbetriebswirkungsgrad 85 (L.O.R.) [%]: | | LED Strom [mA]: | 36 |
| CRI (minimum): | 90 | Leistungsfaktor: | Sehen Montageanleitung |
| Farbtemperatur [K]: | 4000 | Minimaler Dimmwert %: | 5 |
| MacAdam Step: | 3 | Überspannungsschutz: | 2kV Gleichtaktspannung und 1kV Gegentaktspannung |
| | | Control: | DALI |

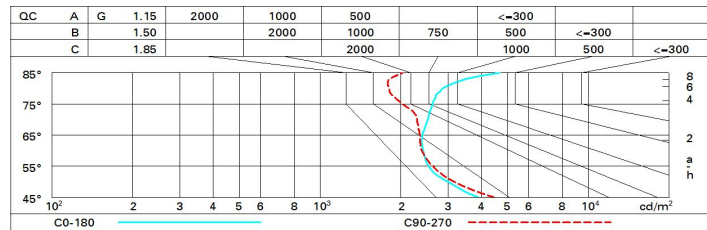
Polardiagramm



Wirkungsgrad

| R | 77 | 75 | 73 | 71 | 55 | 53 | 33 | 00 | DRR |
|------|----|----|----|----|----|----|----|----|-----|
| K0.8 | 72 | 67 | 63 | 61 | 66 | 63 | 62 | 59 | 70 |
| 1.0 | 76 | 71 | 68 | 65 | 70 | 67 | 67 | 63 | 76 |
| 1.5 | 81 | 77 | 74 | 72 | 76 | 73 | 72 | 69 | 83 |
| 2.0 | 84 | 81 | 79 | 77 | 80 | 78 | 77 | 73 | 88 |
| 2.5 | 86 | 84 | 82 | 80 | 82 | 80 | 79 | 76 | 91 |
| 3.0 | 87 | 85 | 84 | 83 | 84 | 82 | 81 | 78 | 94 |
| 4.0 | 88 | 87 | 86 | 85 | 85 | 84 | 83 | 80 | 96 |
| 5.0 | 89 | 88 | 87 | 87 | 86 | 85 | 84 | 81 | 97 |

Söller-Diagramm



UGR-Diagramm

| Corrected UGR values (at 2210 lm bare lamp luminous flux) | | | | | | | | | | | |
|---|------|---------------------|------|------|------|------|-------------------|------|------|------|------|
| Reflect.: | | | | | | | | | | | |
| ceil/cav | | 0.70 | 0.70 | 0.50 | 0.50 | 0.30 | 0.70 | 0.70 | 0.50 | 0.50 | 0.30 |
| walls | | 0.50 | 0.30 | 0.50 | 0.30 | 0.30 | 0.50 | 0.30 | 0.50 | 0.30 | 0.30 |
| work pl. | | 0.20 | 0.20 | 0.20 | 0.20 | 0.20 | 0.20 | 0.20 | 0.20 | 0.20 | 0.20 |
| Room dim | | viewed crosswise | | | | | viewed endwise | | | | |
| x | y | | | | | | | | | | |
| 2H | 2H | 14.2 | 14.8 | 14.5 | 15.1 | 15.4 | 14.5 | 15.1 | 14.8 | 15.4 | 15.7 |
| | 3H | 14.6 | 15.2 | 15.0 | 15.5 | 15.8 | 14.5 | 15.0 | 14.8 | 15.4 | 15.7 |
| | 4H | 14.9 | 15.5 | 15.3 | 15.8 | 16.1 | 14.4 | 15.0 | 14.8 | 15.3 | 15.7 |
| | 6H | 15.3 | 15.8 | 15.6 | 16.1 | 16.5 | 14.4 | 14.9 | 14.8 | 15.3 | 15.6 |
| | 8H | 15.5 | 15.9 | 15.9 | 16.3 | 16.7 | 14.4 | 14.9 | 14.8 | 15.2 | 15.6 |
| | 12H | 15.7 | 16.2 | 16.1 | 16.6 | 16.9 | 14.4 | 14.8 | 14.8 | 15.2 | 15.6 |
| 4H | 2H | 14.2 | 14.7 | 14.6 | 15.1 | 15.4 | 15.0 | 15.5 | 15.3 | 15.8 | 16.2 |
| | 3H | 14.8 | 15.2 | 15.2 | 15.6 | 16.0 | 15.1 | 15.6 | 15.5 | 15.9 | 16.3 |
| | 4H | 15.2 | 15.6 | 15.6 | 16.0 | 16.4 | 15.2 | 15.6 | 15.6 | 16.0 | 16.4 |
| | 6H | 15.7 | 16.1 | 16.2 | 16.5 | 17.0 | 15.2 | 15.6 | 15.7 | 16.0 | 16.5 |
| | 8H | 16.0 | 16.3 | 16.5 | 16.8 | 17.3 | 15.2 | 15.6 | 15.7 | 16.0 | 16.5 |
| | 12H | 16.4 | 16.7 | 16.9 | 17.2 | 17.7 | 15.2 | 15.5 | 15.7 | 16.0 | 16.5 |
| 8H | 4H | 15.3 | 15.6 | 15.8 | 16.1 | 16.5 | 15.4 | 15.8 | 15.9 | 16.2 | 16.7 |
| | 6H | 15.9 | 16.2 | 16.4 | 16.7 | 17.2 | 15.6 | 15.9 | 16.1 | 16.4 | 16.9 |
| | 8H | 16.4 | 16.6 | 16.9 | 17.1 | 17.6 | 15.7 | 16.0 | 16.2 | 16.5 | 17.0 |
| | 12H | 16.9 | 17.1 | 17.5 | 17.7 | 18.2 | 15.8 | 16.0 | 16.4 | 16.6 | 17.1 |
| 12H | 4H | 15.3 | 15.6 | 15.8 | 16.0 | 16.5 | 15.5 | 15.8 | 16.0 | 16.3 | 16.8 |
| | 6H | 16.0 | 16.2 | 16.5 | 16.7 | 17.3 | 15.8 | 16.0 | 16.3 | 16.5 | 17.0 |
| | 8H | 16.5 | 16.7 | 17.0 | 17.2 | 17.7 | 15.9 | 16.1 | 16.4 | 16.6 | 17.2 |
| Variations with the observer position at spacing: | | | | | | | | | | | |
| S = | 1.0H | 1.8 / -1.1 | | | | | 2.3 / -1.7 | | | | |
| | 1.5H | 3.5 / -1.3 | | | | | 4.4 / -2.0 | | | | |
| | 2.0H | 5.1 / -1.4 | | | | | 6.1 / -2.1 | | | | |